

بررسی اثر پارامترهای سینتیکی مختلف بر سنتز پلی اتیلن با وزن مولکولی بسیار زیاد

مهردی سلامی کلجاله‌ی، وحید حدادی اصل^{*}، محمد نجفی

تهران، دانشگاه صنعتی امیرکبیر، دانشکده مهندسی پلیمر، صندوق پستی ۱۵۸۷۵/۴۴۱۳

دریافت: ۸/۱۶/۰۷، پذیرش: ۸/۱۸/۰۷



مجله علوم و تکنولوژی پلیمر،

سال بیست و یکم، شماره ۲،

صفحه ۱۴۸-۱۴۱، ۱۳۸۷

ISSN : 1016-3255

چکیده

در این پژوهش، ابتدا کاتالیزور فعال زیگلر - ناتا بر پایه Ti ساخته شد. سپس، برای تولید پلی اتیلن با وزن مولکولی بسیار زیاد، پلیمرشدن دوغابی در شرایط مختلف انجام و اثر پارامترهایی مانند فشار، دما، ترکیب درصد کاتالیزور و فشار هیدروژن بررسی شد. با توجه به نتایج، با افزایش نسبت [Al]/[Ti] و دما سرعت پلیمرشدن ابتدا افزایش و سپس کاهش می‌یابد. همچنین، افزایش فشار مونومر و دور هم زن و کاهش فشار هیدروژن، سرعت مصرف مونومر و وزن مولکولی پلیمر تولید شده را افزایش می‌دهد. پلی اتیلن با وزن مولکولی بسیار زیاد نیز در شرایط خاص و در غیاب هیدروژن تولید می‌شود.

واژه‌های کلیدی

کاتالیزور زیگلر - ناتا،
پلی اتیلن با وزن مولکولی بسیار زیاد،
سینتیک، پلیمرشدن،
وزن مولکولی

*مسئول مکاتبات، پیام‌نگار:

haddadi@aut.ac.ir

Investigating the Effect of Different Kinetic Parameters on UHMWPE Synthesis

M. Salami-Kalajahi, V. Haddadi-Asl^{*} and M. Najafi

Department of Polymer Engineering, Amirkabir University of Technology,

P.O. Box: 15875/4413, Tehran, Iran

Received 7 November 2007; accepted 6 April 2008

Abstract

In the present work, a titanium-based Ziegler-Natta catalyst was employed to synthesize ultra molecular weight polyethylene in a slurry medium. The effect of different parameters such as ethylene pressure, temperature, catalyst composition, and hydrogen pressure was studied. As the results indicate, increasing either [Al]/[Ti] ratio or temperature causes polymerization rate to go through a maximum. In addition, an increase in either monomer pressure or stirrer speed augments polymer molecular weight. Reducing hydrogen pressure also raises polymer molecular weight. Finally, ultra high molecular weight polyethylene is produced in the absence of hydrogen.

Key Words

Ziegler-Natta catalyst,
UHMWPE,
kinetics, polymerization,
molecular weight

(*) To whom correspondence should be addressed.

E-mail: haddadi@aut.ac.ir

نفت)، گاز نیتروژن با خلوص بیش از ۹۹٪ (تولید پتروشیمی بندر امام) و گاز هیدروژن (محصول شرکت پتروشیمی اراک) استفاده شده است. همگزان (تولید پتروشیمی بندر امام) به عنوان رقیق کننده و محیط دوغابی استفاده شده است. همگزان مصرفی در حدود ۹۰ ppm آب دارد که با استفاده از ستون های الک مولکولی مقدار آن تا ۵ ppm کاهش داده شد.

روش ها

برای تهیه کاتالیزور، ابتدا $MgCl_2$ (Aldrich) در بوتانول نرمال (Aldrich) ۹۸٪ حل شد. سپس، سیلیکا (Aldrich) ۹۹٪ با مساحت سطح $255\text{m}^2/\text{g}$ به آن اضافه و در دمای 80°C به مدت ۱۲ h هم زده شد. الكل مخلوط حاصل در دما و خلاء از آن جدا و پودر به دست آمده به مدت ۸ h در $TiCl_4$ (Aldrich) مخلوط و $TiCl_4$ اضافی با همگزان حذف شد. کاتالیزور به دست آمده دارای $3/9$ درصد وزنی تیتانیم بود.

کاتالیزورهای زیگلر - ناتا در صورت وجود ناخالصی فعالیت خود را به سرعت از دست می دهند. بنابراین، باید در انجام آزمایش ها ناخالصی های مسموم کننده کاتالیزور از سامانه زدوده شود. برای بررسی مقدار سموم موجود در محیط واکنش، از معرف آکریدین استفاده شده است.

ابتدا 25mL از محتویات راکتور زیر جو نیتروژن داخل بالن ریخته شده و سپس 1mL آکریدین (در حدود یک قطره) به آن اضافه و به آرامی هم زده شد. چنان چه ذرات و دانه های سفید رنگ (بلور مانند) مشاهده شود، محیط سرمی است و ناخالصی های سامانه باید با افزایش کمک کاتالیزور حذف شوند.

پس از آماده سازی حلال و سامانه کاتالیزوری و اطمینان از عاری بودن راکتور از ناخالصی ها، جريان آرام نیتروژن برای زدودن هوا و اکسیژن در دمای 60°C از راکتور عبور داده شد. پس از پاک سازی اولیه راکتور، حلال زیر جو نیتروژن به راکتور اضافه شد.

محتویات درون راکتور به آرامی ($100-100\text{rpm}$) مخلوط و کمک کاتالیزور (Witco, $AlEt_3$) و سپس کاتالیزور به سامانه اضافه شد. جريان نیتروژن با گاز اتیلن جایگزین و پلیمرشدن به آرامی شروع شد. با تنظیم فشار و دما در مقدار مطلوب، پلیمرشدن انجام شد. پس از اتمام پلیمرشدن، با قطع جريان اتیلن و باز کردن درب راکتور، پودر از راکتور خارج و درون گرم خانه در دمای 80°C به مدت ۱۲ h خشک گردید.

همچنین، اندازه گیری وزن مولکولی با گرانزوی سنج در داخل حمام سیلیکون با دمای 150°C انجام شده است. ابتدا پلی اتیلن در حلال دکالین و در دمای 150°C در داخل گرم خانه به مدت ۲ h حل شد. سپس، مقدار مشخصی از آن داخل گرانزوی سنج ریخته شده و زمان سقوط آن اندازه گیری شد.

مقدمه

پژوهش است که پلی اتیلن با وزن مولکولی بسیار زیاد (UHMWPE) در مقایسه با پلی اتیلن معمولی ترکیبی از خواص مناسب، مانند مقاومت ضربه زیاد، مقاومت شیمیایی عالی و مقاومت گرمایی خوبی دارد. این خواص به طور مستقیم به ساختار مولکولی پلیمر ارتباط دارد که به وسیله سامانه کاتالیزوری و شرایط پلیمرشدن معین می شود [۴-۶].

کاتالیزور نقش اصلی را در فرایند پلیمرشدن و کیفیت محصول نهایی ایفا می کند. کاتالیزور تحت تأثیر عوامل درونی نظریه نوع ترکیب، ساختار، شکل و اندازه ذرات و همچنین عوامل بیرونی مانند دما، فشار، نوع و غلظت کمک کاتالیزور در پلیمرشدن است، که در مجموع این عوامل بر سرعت واکنش و تسهیل فرایند و در نهایت بر مقدار محصول و خواص پلیمر تولید شده اثر می گذاردند.

پژوهش ها نشان می دهد، تهیه کاتالیزورهای زیگلر - ناتا نگهداری شده (supported) با سیلیکا باعث یکنواختی مراکر فعل و در نتیجه کنترل بهتر پلیمرشدن از نظر شکل شناسی محصول به دست آمده می شود [۷-۸]. استفاده از $MgCl_2$ یا ترکیبات آلی منیزیم در سامانه کاتالیزور نیز باعث افزایش فعالیت کاتالیزور می شود [۹-۱۲].

تاکنون پژوهش های زیادی روی اثر پارامترهای فرایندی بر سینتیک فرایند پلیمرشدن انجام شده است. پژوهشگران مختلف اثر شرایط مختلف را بر سرعت پلیمرشدن و وزن مولکولی پلیمر تولید شده بررسی کرده اند. همچنین، سینتیک پلیمرشدن و کوپلیمرشدن اتیلن و آلفا اوکوفین ها با کاتالیزورها و کومونومرهای مختلف مورد مطالعه قرار گرفته است [۱۳-۲۲].

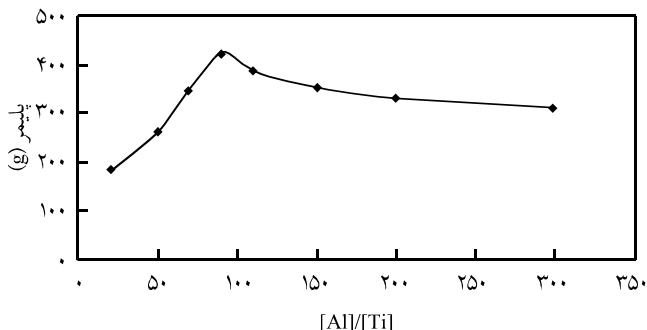
این در حالی است که اغلب پژوهش های یاد شده روی پلیمرشدن پلی اوکوفین ها با وزن های مولکولی متوسط و کم انجام شده است و به وضوح فقدان پژوهش های لازم روی پلیمرشدن UHMWPE (پلی اتیلن با وزن مولکولی بسیار زیاد) و بررسی پارامترهای مختلف و مؤثر بر سینتیک آن احساس می شود. بنابراین، در پژوهش حاضر، هدف تهیه سامانه کاتالیزوری مناسب و تولید UHMWPE است.

در این مقاله، پس از تهیه سامانه کاتالیزوری سیلیکا/ $TiCl_4/MgCl_2/AlEt_3$ و هیدروژن، دور هم زن و غلظت کمک کاتالیزور روی پلیمرشدن و وزن مولکولی UHMWPE بررسی شده است.

تجربی

مواد

در این روش، از گاز اتیلن با خلوص ۹۹٪ درصد پژوهشگاه صنعت

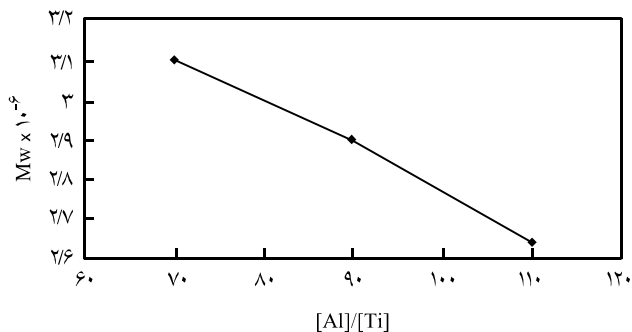


شکل ۳ - اثر نسبت $[Al]/[Ti]$ بر مقدار پلیمر تولید شده بعد از ۲h (دما $75^{\circ}C$ ، فشار هیدروژن 75 bar ، غلظت تیتانیم 1 mmol/L و سایر شرایط مانند شکل ۱ است).

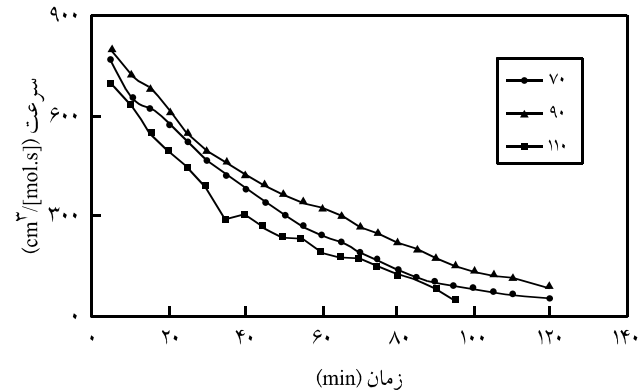
شکل ۲ نیز تغییرات متوسط سرعت مصرف مونومر را با نسبت $[Al]/[Ti]$ نشان می دهد. همان طور که از این شکل معلوم است، با افزایش نسبت $[Al]/[Ti]$ سرعت متوسط از مقداری بیشینه عبور می کند.

شکل ۳ نیز تغییرات مقدار پلیمر تولید شده را با نسبت $[Al]/[Ti]$ نشان می دهد. همان طور که در شکل نیز دیده می شود، با افزایش $[Al]/[Ti]$ مقدار پلیمر تولید شده ابتدا افزایش و سپس کاهش می یابد. در ابتدا با توجه به افزایش غلظت مراکز فعال تولید کننده پلیمر، بازده کاتالیزور افزایش می یابد، ولی با افزایش نسبت $[Al]/[Ti]$ ، پس از گذر از نسبت بیشینه، غلظت مراکز مناسب هموپلیمر شدن اتیلن (Ti^{+3} , Ti^{+2} و Ti^{+4}) کاهش می یابد که می تواند دلیل مهمی برای این نتایج باشد.

شکل ۴ متوسط گرانروی وزن مولکولی پلیمرهای به دست آمده را در نسبت های مختلف $[Al]/[Ti]$ نشان می دهد. با توجه به نتایج با افزایش $[Al]/[Ti]$ در محدوده بررسی وزن مولکولی کاهش یافته است. دلیل این امر می تواند در اثر افزایش واکنش های انتقال به کمک کاتالیزور



شکل ۴ - اثر نسبت $[Al]/[Ti]$ بر وزن مولکولی در غیاب هیدروژن (شرایط واکنش مانند شکل ۱ است. ثوابت مارک - هوینگ برای پلی اتیلن سنگین: $a = 749$ و $k = 5/37 \times 410$).

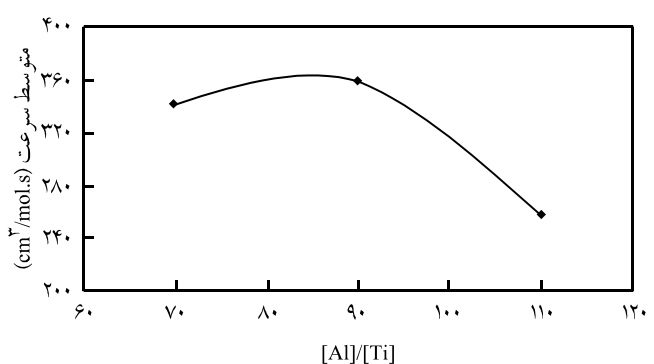


شکل ۱ - اثر نسبت $[Al]/[Ti]$ بر سرعت پلیمر شدن اتیلن (دما $70^{\circ}C$ ، فشار کل 8 bar ، فشار هیدروژن 8 bar ، دور هم زن 800 rpm ، غلظت تیتانیم 0.2 mmol/L و حجم هگزان 1 L).

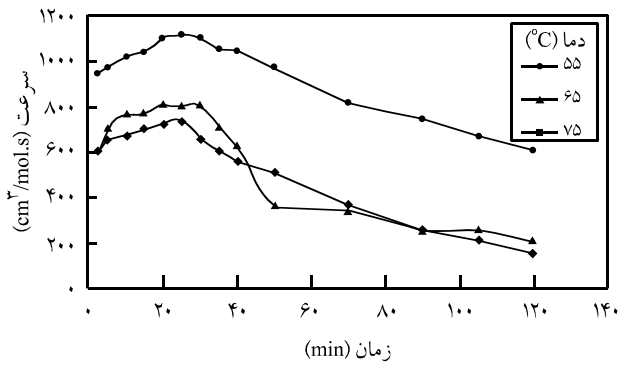
نتایج و بحث

اثر نسبت آلومینیم به تیتانیم

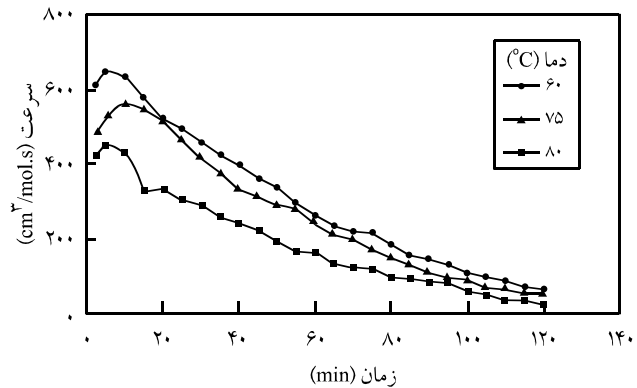
شکل ۱ تغییرات سرعت مصرف مونومر را با زمان نشان می دهد. همان طور که در شکل دیده می شود، با افزایش نسبت Al/Ti سرعت پلیمر شدن ابتدا افزایش و سپس کاهش می یابد. در ابتدا با افزایش غلظت کمک کاتالیزور نسبت به کاتالیزور، مراکز فعال بیشتری تولید می شوند و طبق قانون اول کاتالیزور [22° ؛ چون سرعت پلیمر شدن افزایش می یابد. با فعال نسبت مستقیم دارد، در نتیجه سرعت پلیمر شدن افزایش می یابد. با ازدیاد بیشتر نسبت $[Al]/[Ti]$ ، کمک کاتالیزور مراکز فعال با عدد های اکسایش پایین ایجاد می کند. به عنوان مثال، Ti^{+1} به Ti^{+2} که در هموپلیمر شدن اتیلن فعالیت چندانی ندارد، تبدیل می شوند. بنابراین، سهم مراکز فعال با سرعت بیشتر در پلیمر شدن و در نتیجه سرعت پلیمر شدن کاهش می یابد.



شکل ۲ - اثر نسبت $[Al]/[Ti]$ بر سرعت متوسط مصرف اتیلن (همه شرایط مانند شکل ۱ است).

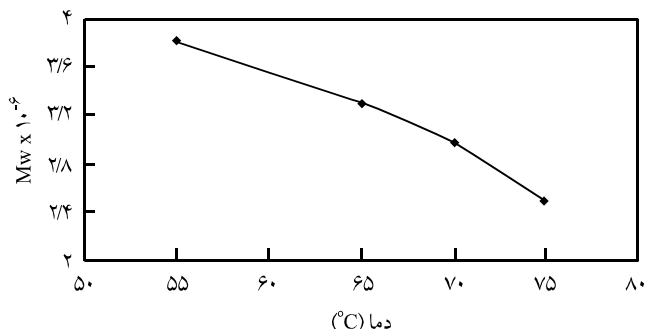


شکل ۷ - اثر افزایش دما بر سرعت مصرف اتیلن در غیاب هیدروژن $[Al]/[Ti] = 90$ و سایر شرایط مانند شکل ۱ است.

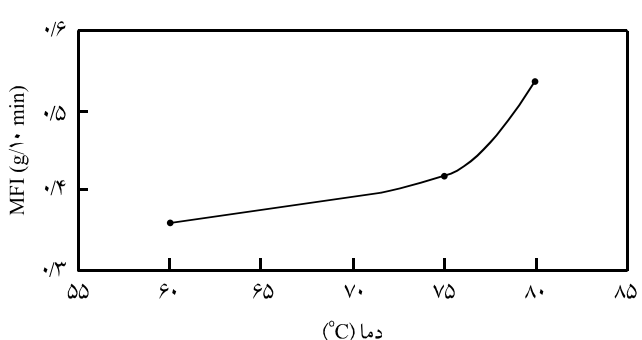


شکل ۵ - اثر افزایش دما بر سرعت مصرف اتیلن $[Al]/[Ti] = 90$ و سایر شرایط مانند شکل ۱ است.

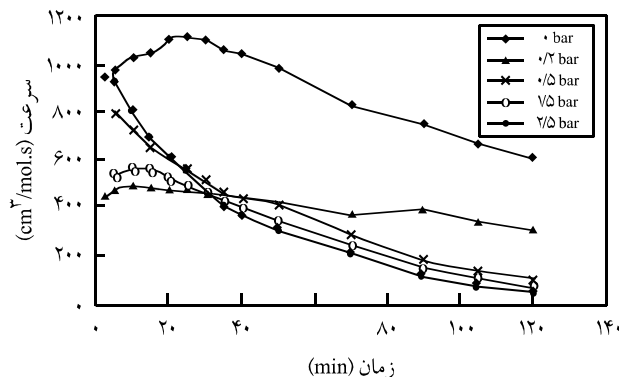
مولکولی پلیمر تولیدشده با افزایش دما کم می شود. این کاهش می تواند به دلیل افزایش واکنش های انتقال باشد، چون در دماهای بیشتر واکنش های انتقال راحت تر انجام می شوند و با توجه به کاهش نسبت واکنش انتشار به واکنش های انتقال، وزن مولکولی کم می شود. همچنین، با افزایش دما مقدار مراکز فعال تولیدشده در واکنش نیز افزایش می یابد که این امر می تواند باعث کاهش وزن مولکولی شود [۲۳]. برای تولید پلی اتیلن با وزن مولکولی بسیار زیاد (UHMWPE)، باید عامل کنترل وزن مولکولی (هیدروژن) در محیط واکنش نباشد. بنابراین، پلیمرشدن در سه دمای ۵۵، ۶۵ و ۷۵°C در غیاب هیدروژن انجام شده است. نتایج سینتیک پلیمرشدن در شکل ۷ آورده شده است. نتایج نشان می دهد که با افزایش دمای پلیمرشدن سرعت مصرف مونومر بیشتر می شود که دلیل آن افزایش فعالیت مراکز فعال در اثر افزایش دماست. شکل ۸ اثر دما بر وزن مولکولی در غیاب هیدروژن نشان می دهد. با توجه به نتایج، با افزایش دما وزن مولکولی پلیمر تولیدی کاهش می یابد. دلیل این امر افزایش مقدار انتقال مراکز فعال در طول واکنش بر



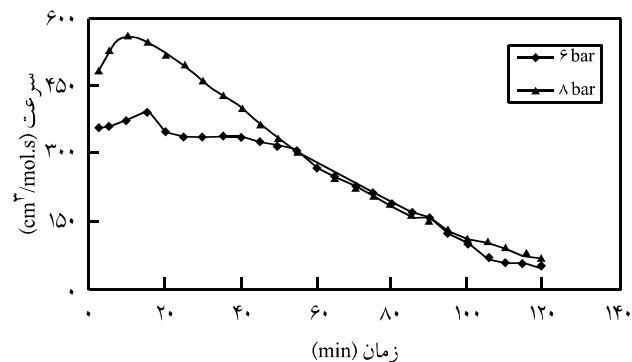
شکل ۸ - اثر افزایش دما بر وزن مولکولی در غیاب هیدروژن $[Al]/[Ti] = 90$ و سایر شرایط مانند شکل ۱ است.



شکل ۶ - مقادیر MFI پلیمرهای تولیدشده در دماهای مختلف $[Al]/[Ti] = 90$ و سایر شرایط مانند شکل ۱ است.



شکل ۱۱ - اثر فشار هیدروژن بر سرعت مصرف اتیلن ($[Al]/[Ti]=۹۰$ و سایر شرایط مانند شکل ۱ است).



شکل ۹ - اثر افزایش فشار مونومر بر سرعت مصرف آن ($[Al]/[Ti]=۹۰$ ، دما ۷۵°C و سایر شرایط مانند شکل ۱ است).

با افزایش غلظت مونومر واکنش برگشت بر واکنش رفت غلبه و در نتیجه سرعت پلیمرشدن افزایش می یابد [۲۷-۲۹]. همچنین، افزایش فشار مونومر باعث افزایش غلظت آن در سطح کاتالیزور و باعث انجام بیشتر واکنش انتشار می شود. با کاهش فشار، MFI از $۰/۰۴$ به $۰/۰۷$ افزایش پیدا می کند که نشان دهنده کاهش وزن مولکولی با کاهش فشار مونومر است. با توجه به سینتیک واکنش اتیلن با افزایش فشار مونومر، میزان مراکز فعل افزایش می یابد. همچنین، مقدار واکنش رشد و انتقال به مونومر نیز بیشتر می شود. چون وزن مولکولی با نسبت سرعت انتشار به واکنش های اختتام ارتباط دارد. با افزایش غلظت مونومر غلظت مراکز فعل نیز از دیاد می یابد و با توجه به ثوابت سینتیکی نسبت سرعت انتشار به سرعت های اختتام زیاد می شود [۲۹].

اثر دور هم زن

در شکل ۱۰ اثر مقدار دور هم زن بر سرعت پلیمرشدن نشان داده شده است. با توجه به شکل، با کاهش دور هم زن سرعت مصرف مونومر کاهش یافته است که آن را می توان به شکسته شدن کمتر کلوخه های کاتالیزوری و ایجاد سطح کاتالیزوری کمتر برای پلیمرشدن داد. افزایش مقاومت های انتقال جرم و در نتیجه کاهش مقدار مونومر در سطح کاتالیزور نیز عامل مؤثری در کاهش سرعت پلیمرشدن است. همچنین، با کاهش دور هم زن از ۸۰۰ به ۶۰۰ rpm MFI پلیمر از $۰/۰۶$ به $۰/۰۴$ افزایش پیدا می کند و در نتیجه باعث کاهش وزن مولکولی می شود.

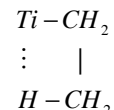
اثر فشار هیدروژن

شکل ۱۱ اثر افزایش فشار هیدروژن بر سرعت مصرف مونومر را نشان می دهد. آشکار است که در غیاب هیدروژن سرعت پلیمرشدن بسیار بیشتر از سایر موارد در حضور هیدروژن است، چون هیدروژن اثر منفی بر

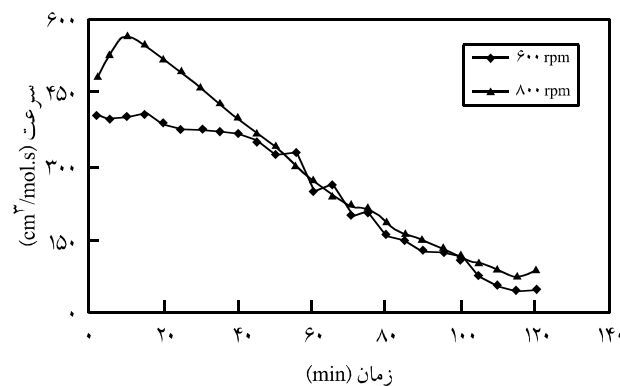
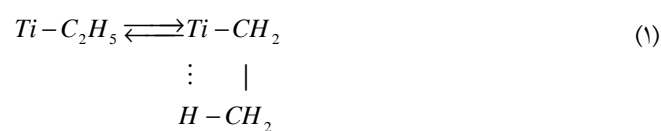
اثر افزایش دما و جلوگیری از رشد زنجیرهای پلیمری است که باعث تولید زنجیرهایی با وزن مولکولی کم می شود [۲۶].

اثر فشار اتیلن

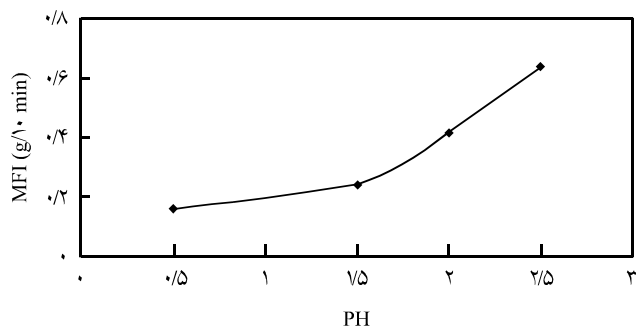
در شکل ۹ اثر افزایش فشار مونومر بر سرعت پلیمرشدن نشان داده شده است. نتایج نشان می دهد که با افزایش فشار مونومر سرعت پلیمرشدن افزایش می یابد. در پلیمرشدن اتیلن با کاتالیزورهای زیگلر - ناتا ترکیب پایدار زیر تشکیل می شود:



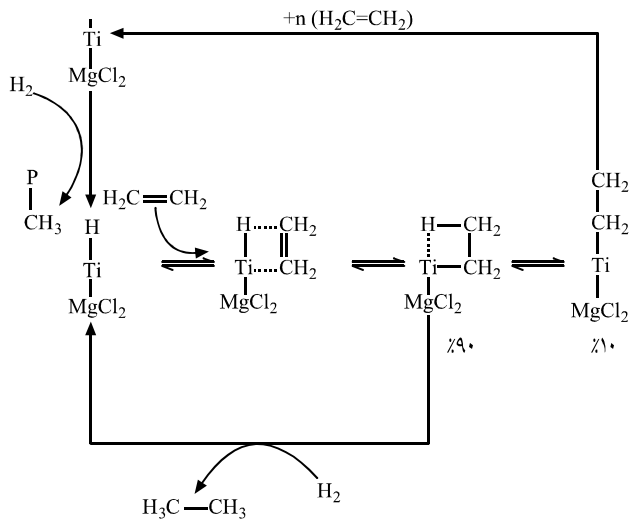
این ترکیب در واکنش تعادلی (۱) شرکت می کند:



شکل ۱۰ - اثر دور هم زن بر سرعت مصرف مونومر ($[Al]/[Ti]=۹۰$ ، دما ۷۵°C و سایر شرایط مانند شکل ۱ است).



شکل ۱۲ - مقادیر MFI پلیمرهای تولید شده در فشارهای مختلف هیدروژن ($\text{[Al]}/[\text{Ti}] = 90$ ، دما 75°C و سایر شرایط مانند شکل ۱ است).



طرح ۱ - ساز و کار تشکیل ترکیب پایدار بتا آگوستیک.

پس از بررسی پلیمر شدن اتیلن با استفاده از کاتالیزورهای زیگلر - ناتای نگهداری شده نتایج زیر به دست آمد:

شکل منحنی سرعت پلیمر شدن با کاتالیزور تیتانیم تراکلرید ناهمگن و کمک کاتالیزور تری اتیل آلومینیم کاهشی و شرایط عملیاتی در شکل عمومی منحنی بی اثر است.

با افزایش نسبت $[\text{Al}]/[\text{Ti}]$ ، سرعت پلیمر شدن و مقدار پلیمر تولید شده ابتدا افزایش و سپس کاهش و وزن مولکولی پلیمر تولید شده کاهش می یابد.

با افزایش دما، سرعت پلیمر شدن ابتدا افزایش و سپس کاهش می یابد، ولی وزن مولکولی پلیمر تولید شده همواره کمتر می شود.

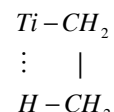
افزایش فشار مونومر و دور هم زن، باعث بیشتر شدن سرعت پلیمر شدن و وزن مولکولی پلیمر تولید شده می شود.

حذف هیدروژن باعث افزایش شدید سرعت پلیمر شدن و وزن مولکولی می شود.

افزایش فشار هیدروژن سبب کاهش سرعت پلیمر شدن و وزن مولکولی پلیمر تولید شده می شود.

دست یابی به پلی اتیلن با وزن مولکولی بسیار زیاد، به کمک حذف هیدروژن میسر است. کاهش دما نیز باعث افزایش بیشتر وزن مولکولی می شود.

فعالیت مراکز فعال دارد. در حالتی که هیدروژن در سامانه پلیمر شدن وجود دارد، سرعت پلیمر شدن با افزایش فشار هیدروژن کاهش می یابد [۲۹]. اثر منفی هیدروژن بر سینتیک پلیمر شدن اتیلن در طرح ۱ آورده شده است. همان طور که در این طرح پیداست، در حضور هیدروژن واکنش انتقال به هیدروژن رخ می دهد که باعث تشکیل ترکیب $\text{Ti}-\text{H}$ می شود. این ترکیب در واکنش با یک مونومر به ترکیب پایدار بتا آگوستیک زیر تبدیل می شود که در پلیمر شدن نقش فعالی ندارد:



بنابراین، با افزایش فشار هیدروژن و در نتیجه افزایش مقدار این ترکیب، سرعت پلیمر شدن کاهش می یابد.

همچنین، شکل ۱۲ اثر فشار هیدروژن بر MFI پلیمر تولید شده را نشان می دهد. همان طور که از نتایج مشخص است، با افزایش فشار هیدروژن مقدار MFI نیز افزایش می یابد. زیرا، هیدروژن به عنوان عامل انتقال عمل می کند و با افزایش فشار آن امکان کمتری به زنجیرهای برای رشد و رسیدن به وزن مولکولی زیاد می دهد. در نتیجه تنها زنجیرهای با وزن مولکولی کم تولید می شود که حاصل آن افزایش مقدار MFI است.

مراجع

- Avanzini A., Mechanical Characterization and Finite Element Modeling of Cyclic Stress-Strain Behavior of Ultra High Molecular Weight Polyethylene, *Mater. Design*, **29**, 330-343, 2008.
- Szabo T.L., *Plastics*, 3rd ed., Elsevier, London, 133-173, 2005.
- Park H., Kwak S. and Kwak S., Wear-resistant UHMWPE/Zir-

- conia Composites Prepared by in situ Ziegler-Natta Polymerization, *Macromol. Chem. Phys.*, **206**, 945-950, 2005.
4. Spiegelberg S., *The UHMWPE Handbook*, Elsevier, London, 263-285, 2004.
 5. Velikova M., Minkova L., Damyanov D. and Rangelov S., The Influence of Polymerization Conditions on the Structure and Properties of High Molecular Weight Polyethylene Obtained on Supported Vanadium Catalysts System, *Eur. Polym. J.*, **33**, 403-409, 1997.
 6. Velikova M., Study of Effect of the Nature of Catalyst Systems on the Molecular Structure and Properties of Ultra-high Molecular Weight Polyethylene, *Eur. Polym. J.*, **37**, 1255-1262, 2001.
 7. Korach L., Czaja K., Mrowiec-Bialon J. and Jarzebski A., Effect of Silica-type Sol-gel Carrier's Structure and Morphology on a Supported Ziegler-Natta Catalyst for Ethylene Polymerization, *Eur. Polym. J.*, **42**, 3085-3092, 2006.
 8. Ghosh S., Influence of Supported Vanadium Catalyst on Ethylene Polymerization Reactions, *Polym. Int.*, **57**, 261-267, 2008.
 9. Czaja K. and Bialek M., Effect of Hydrogen on the Ethylene Polymerization Process over Ziegler-Natta Catalysts Supported on $MgCl_2(THF)_2$. I. Studies of the Chain-Transfer Reaction, *J. Appl. Polym. Sci.*, **79**, 356-360, 2001.
 10. Wang J., Wang L., Gao H., Wang W., Wang W., Zhao Z., Sun T. and Feng L., Ethylene Polymerization Using a Novel $MgCl_2/SiO_2$ -Supported Ziegler-Natta Catalyst, *Polym. Int.*, **55**, 299-304, 2006.
 11. Chen Y., Fan Z., Liao J. and Liao S., Molecular Weight Distribution of Polyethylene Catalyzed by Ziegler-Natta Catalyst Supported on $MgCl_2$ Doped with $AlCl_3$, *J. Appl. Polym. Sci.*, **102**, 1768-1772, 2006.
 12. Zohuri G. H., Jamjah R. and Ahmadjo S., Comparative Study of Propylene Polymerization Using Mono-supported and Bi-supported Titanium-based Ziegler-Natta Catalysts, *J. Appl. Polym. Sci.*, **100**, 2220-2226, 2006.
 13. Kim J.H., Kim I. and Woo S.I., Computer Simulation Study of Ethylene Polymerization Rate Profile Catalyzed over Highly Active Ziegler-Natta Catalysts, *Ind. Eng. Chem. Res.*, **30**, 2074-2079, 1991.
 14. Bohm L.L., The Ethylene Polymerization with Ziegler Catalysts: Fifty Years after the Discovery, *Angew. Chem. Int. Ed.*, **42**, 5010-5030, 2003.
 15. Kissin Y.V., Mink R.I. and Nowlin T.E., Ethylene Polymerization Reactions with Ziegler-Natta Catalysts. I. Ethylene Polymerization Kinetics and Kinetic Mechanism, *J. Polym. Sci., Part A: Polym. Chem.*, **37**, 4255-4272, 1999.
 16. Luo H., Tang R. and Gao K., Studies on the Formation of New, Highly Active Silica-supported Ziegler-Natta Catalyst for Ethylene Polymerization, *J. Catal.*, **210**, 328-339, 2002.
 17. Mulhaupt R., Catalytic Polymerization and Post Polymerization Catalysis Fifty Years after the Discovery of Ziegler's Catalysts, *Macromol. Chem. Phys.*, **204**, 289-327, 2003.
 18. Choi H.K., Kim J.H., Ko Y.S. and Woo S.I., Prediction of the Molecular Weight of Polyethylene Produced in a Semibatch Slurry Reactor by Computer Simulation, *Ind. Eng. Chem. Res.*, **36**, 1337-1342, 1997.
 19. Gambarotta S., Vanadium-based Ziegler-Natta: Challenges, Promises, Problems, *Coord. Chem. Res.*, **237**, 229-243, 2003.
 20. Abedi S., Hosseinzadeh M., Kazemzadeh M.A. and Daftari-Besheli M., Effect of Polymerization Time on the Molecular Weight and Molecular Weight Distribution of Polypropylene, *J. Appl. Polym. Sci.*, **100**, 368-371, 2006.
 21. Garoff T., Johansson S., Pesonen K., Waldvogel P. and Lindgren D., Decrease in Activity Caused by Hydrogen in Ziegler-Natta Ethylene Polymerization, *Eur. Polym. J.*, **38**, 121-132, 2002.
 22. Oh S.J., Lee J. and Park S., Prediction of Pellet Properties for an Industrial Bimodal High-Density Polyethylene Process with Ziegler-Natta Catalysts, *Ind. Eng. Chem. Res.*, **44**, 8-20, 2005.
 23. Kissin Y.V., Mink R.I., Nowlin T.E. and Brandolini A.J., Kinetics and Mechanism of Ethylene Homopolymerization and Copolymerization Reactions with Heterogeneous Ti-based Ziegler-Natta Catalysts, *Top Catal.*, **7**, 69-88, 1999.
 24. Mark J.E., *Polymer Data Handbook*, Oxford University, London, 1999.
 25. Shimitzu F., Pater J.T.M., Van Swaaij W.P.M. and Weickert G., Kinetic Study of a Highly Active $MgCl_2$ -Supported Ziegler-Natta Catalyst in Liquid Pool Propylene Polymerization. II. The Influence of Alkyl Aluminum and Alkoxyisilane on Catalyst Activation and Deactivation, *J. Appl. Polym. Sci.*, **83**, 2669-2679, 2002.
 26. Kissin Y.V., Peculiarities of Ethylene Polymerization Reactions with Heterogeneous Ziegler-Natta Catalysts: Kinetic Analysis, *Macromol. Theory Simul.*, **11**, 67-76, 2002.

27. Kissin Y.V., Main Kinetic Features of Ethylene Polymerization Reactions with Heterogeneous Ziegler-Natta Catalysts in the Light of a Multicenter Reaction Mechanism, *J. Polym. Sci., Part A: Polym. Chem.*, **39**, 1681-1695, 2001.
28. Haddadi-Asl V. and Salami-Kalajahi M., An Introduction to Ziegler-Natta Catalysts, Petrochemical Research and Technology Company, Tehran, 2007.
29. Salami-Kalajahi M., Haddadi-Asl V., Najafi M. and Ghafelebashi Zarand S.M., Investigation of Ethylene Polymerization Kinetics over Ziegler-Natta Catalysts: Employing Moment Equation Modeling to Study the Effect of Different Active Centers on Homopolymerization Kinetics, *e-Polymers*, 4, 2008.